

ソリトン分裂津波による異形ブロック堤の安定実験

長崎大学工学部 正会員 富権 宏由
平山 康志
学生会員 彩山 正弘

1.はじめに

ソリトン分裂津波による消波アロック堤の破壊とブロック散乱のメカニズムを解明する目的に、前報¹⁾においては先ず、アロック堤から飛散して陸上に孤立した1個のブロックに作用する波力を水理実験により調べた。その結果、津波の波力によって孤立したアロックが転動する可能性のある範囲、即ちアロック最大転動距離（又はアロック海上長）は、現地海岸で観測されたアロック最大散乱距離と略々一致し、ブロックの散乱は波力による転動であり、津波の陸上海上と密接に関連していることを明らかにした。次いで、本報ではソリトン分裂津波による陸上の消波アロック堤の安定実験を行うとともに、ブロック堤の中にある1個のブロックに働く波力を測定し、従来のハドソン公式による安定度の評価並びに転倒・滑動に対する安定性の評価等を比較検討し、二種の津波による破壊力は従来の破壊によるものと比べて格段に大きいことを明らかにした。

2. 実験方法

(1) 実験条件

実験水槽は、図-1に示すように斜面がソリトン分裂やすいように設計した高さ25cmの小規模のついた木平床と $\beta = 1/100$ の海底勾配斜面はコンクリート製、陸上勾配斜面は $\beta = 1/10$ 光端部はアルミ板製、鞍部と後方 $\beta = 1/10$ の斜面にはアクリル板を用いた。さらに、鞍部からはほぼ1mにわたり、粗度を上

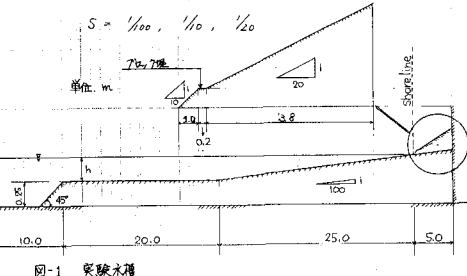


図-1 実験水槽

下るためには砂を接着した。また模型ブロックは4セ型三連ブロックの縮尺 $1/41$ 、アラスチック製を用い、各層毎に色分けし、番号を付した。ブロック堤は長さ20cmの鞍部に設置した。実験波は、造波機のタイマー調節により入射波周期6~22secを使用。1stソリトンはほぼ $\beta = 1/100$ 斜面の法先の前後で碎波し、ブロック堤には2ndあるいは3rdソリトンが先頭となって到達する。この波の波高、流速と波力を測定した。波力計は水平波力計と合波力計を用い、合波力から水平波力を差し引くことにより、鉛直波力を求めた。そして、どのブロックがどうせ移動したかを記録するが、被災判定の目安として、ブロック1個分以上移動したものと被災とし、 $1/4$ 以上1個分以内を移動なしとした。

(2) 実験ケース

以下の①~③についてそれぞれ中間部（水路1m巾全面に並べるもの）と、開口部（水路1m巾の中央45cmのアロックを除いたもの）との場合について行う。水深は下記の②のc)の他は $h = 25cm$ とする。

①突き合わせ（2層積）

②突き合わせ（3層積） a) 支持板なし b) 支持板あり（開口部のみ） c) $h = 30cm$, 支持板あり

③落とし突き合わせ（3層積） a) 支持板なし b) 支持板あり（中間部のみ）

3. 実験の結果と考察

(1) 安定限界とハドソン公式（図-2, 3）

波高2%以内のものを安定限界値として用い、ハドソン公式による曲線と比較したのが図-2である。現在ハドソン公式より三連ブロックの安定重量決定には、 KD 値として10.2が用いられている。よって $cot\theta = 1.77$ の場合についてみると、設計波高を4mとすれば4セという安定限界重量をえる。それに対して、実験によれば、4

セブロックは、口印の突き合せ3層においては、2~3mで安全限界となっている。このことから、ソリトン津波は波浪に比べ同一波高であっても被災に至らしめるより大きい波力をもつていておりとなり、また図-2の波高に対応する波力を示した図-3をみると、セブロックに対する波浪の波力が1セブロックに対して、ソリトン津波では6~8セブロックであり、このことは明らかになってくる。そして、実験値よりD=0~2%に及けるKo値を求めたのが表1である。10.2の現行のKo値に対して、実験値はより小さい値を与えており、同一波高でもより大きな安全限界重量を与える結果となっている。

(2) 被災との関係

a) 被災観察によれば、中間部では転倒により、開口部においては概して滑動により被災が発生していたが、図-4と図-5を見れば、それらの被災との相関性よく、前者は転倒が後者は滑動が被災と関係していることがわかる。

b) ブロック位置において、4つのピーク流速とそれに対応する波高的積の和と、被災との関係を示したのが図-6である。よく相關していることがわかる。被災が瞬間最大のQ

(流量)よりも、4つのピークのQとの相関関係がよりことから、ソリトン分離波の一つ一つが波全体の破壊力とはして被災にかかる。くるものと考えられる。

c) 図-7でわかるように被災率は最大アロック遇上高や、図は省略した伏波の遇上高にも相関をもっている。

千 結 論

以上より、ソリトン分離津波においては、小さな波高でも従来のハドソン公式で与えられるより大きい波力をもつており、まず開口部が破壊され中間部へと進んでゆく。開口部での破壊は概して滑動であり、中間部では転倒である。ソリトン分離津波の破壊力の大きさは、その分離状況とその連続性であろうと考えられる。ブロックの観測によると、そのアロック抵抗力の大きさも様々ではあるが、ソリトン津波に対しての安全性を論ずる場合には、その開口部においてさらなる実験と研究が必要である。

参考文献 1) 富澤宏由・平山康志・川野徹・早田佳朗: ソリトン分離津波による消波アロック破壊のメカニズムについて; 第33回海岸工学講演会論文集, pp. 466~470, 1986.

部 分	例	実験結果の Ko 値 (被災 2% 内)			
		Hs	Ns	Ko	Ko/Ns
中 間 部	2	8.5	2.4	4.0	1.12
突きあわせ	3 支柱式	6.3	1.7	2.7	1.6
	支承式	4.9	1.3	1.2	1.1
端 部	3 支承式	9.6	2.5	1.7	1.62
	支承式	11.6	3.1	2.0	2.92
中 間 部	2	7.1	1.9	2.3	1.5
突きあわせ	3 支承式	5.2	1.4	1.5	1.23
	支承式	5.9	1.6	2.1	1.38
端 部	3 支承式	5.8	1.5	2.0	1.36
突きあわせ	3 支承式	9.6	2.5	1.7	1.56

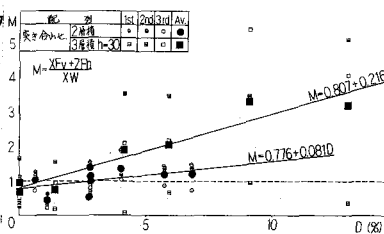


図-4 被災と駆倒モード比の関係(中間部)

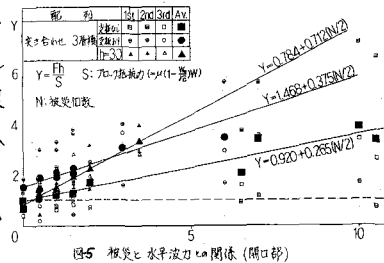


図-5 被災と水平波力の関係(開口部)

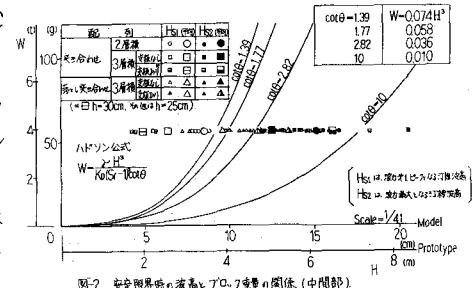


図-2 安全限界時の波高とTの重量の関係(中間部)

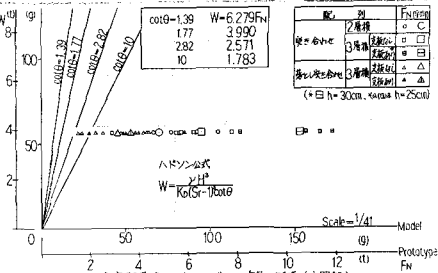


図-3 安全限界時の波高とTの重量の関係(中間部)

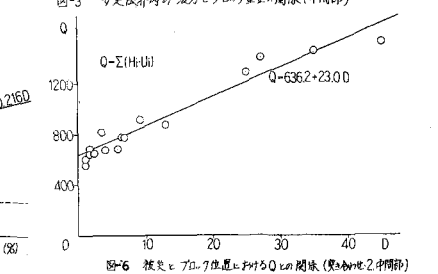


図-6 被災とTとQ-Qmaxの関係(突きあわせ2中間部)

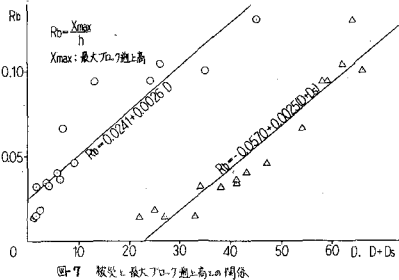


図-7 被災と最大アロック遇上高の関係